

УДК 535.373.2

ФИЗИЧЕСКАЯ ХИМИЯ

А. А. БЕЛЯЕВА, Р. Б. ДУШИН, Ю. Б. ПРЕДТЕЧЕНСКИЙ, Л. Д. ЩЕРБА

ЦЕНТРЫ ЛЮМИНЕСЦЕНЦИИ В КРИСТАЛЛИЧЕСКИХ
БЛАГОРОДНЫХ ГАЗАХ С ПРИМЕСНЫМИ АТОМАМИ ЛИТИЯ

(Представлено академиком В. Н. Кондратьевым 3 XII 1970)

В настоящей работе приведены данные о спектрах поглощения и люминесценции атомов Li в матрице из ксенона в интервале 4—80° К и предложена модель центров люминесценции для атомов Li в решетке благородного газа. Для системы Li/Xe произведены некоторые численные оценки. Техника эксперимента описана в ⁽¹⁾. Полученные спектры поглощения Li в Xe хорошо согласуются с данными, опубликованными ранее ^(2, 3). Спектры люминесценции наблюдались впервые.

В спектре поглощения в области резонансного перехода свободного атома лития $2S_{1/2} \rightarrow 2P_{1/2, 3/2}$ (14904 см^{-1}) наблюдается широкая полоса (полуширина 1500 см^{-1}), состоящая из пяти компонент. При повышении температуры интенсивность полосы уменьшается, причем интенсивность различных компонент падает с разной скоростью. При 50° К спектр имеет вид триплета, относительная интенсивность компонент которого остается постоянной при дальнейшем нагревании. Триплет, сохраняющийся вплоть до высоких температур, относится к наиболее стабильным центрам. Мы считаем, что такими центрами являются атомы Li, замещающие один атом в кубической гранецентрированной решетке благородного газа (так называемые A-центры ⁽¹⁾). Спектр люминесценции при возбуждении в области поглощения триплета состоит из широкой полосы с максимумом 9000 см^{-1} . Квантовый выход люминесценции очень мал $0,005—0,01$. Наблюдаемые и рассчитанные энергии (в см^{-1}) переходов в поглощении и излучении A-центров Li/Xe имеют следующие значения (в скобках приведены полуширины полос в см^{-1}):

	Поглощение	Излучение
Эксперимент	$14550(400); 14880(300); 15280(250)$	$9000 (1500)$
Расчет	14850	$8600; 10000$

В данной работе рассматривается модель A-центров, аналогичная модели примесных центров в кристаллах с локализованным электронным возбуждением ⁽⁴⁾. Учитывается взаимодействие атома Li только с двенадцатью атомами X первой координационной сферы кристалла (X—атом благородного газа). Соответствующая квазимолекула LiX_{12} , имеющая симметрию O_h , изображена на рис. 1. Уровень $2P$ атома Li не расщепляется в поле октаэдрической симметрии *. Соответствующее электронное возбужденное состояние квазимолекулы F_{1u} трижды вырождено. Структура полосы поглощения, очевидно, связана с электронно-колебательным взаимодействием в этом состоянии. Из 33 нормальных колебаний молекулы три колебания симметрии F_{1u} , соответствующие смещению атома Li из центрального положения, имеют частоты, в несколько раз превышающие частоты остальных колебаний (о нормальных колебаниях молекулы XY_{12} см. ⁽⁵⁾). В пределе при $m_L/m_X \rightarrow 0$ эти три колебания совпадают и сводятся к трансляционному движению атома Li в ячейке, образованной 12

* Всюду в дальнейшем пренебрегается спин-орбитальным взаимодействием в $2P$ -состоянии.

неподвижными атомами X. Такое приближение положено в основу рассматриваемой модели.

В основном состоянии A_{1g} движение атома Li описывается одной потенциальной поверхностью. В возбужденном состоянии взаимодействие электрона с трансляционным колебанием F_{1u} приводит к появлению трех энергетических поверхностей (эффект Реннера для многоатомных молекул согласно ⁽⁵⁾). Поверхности для обоих состояний A_{1g} и F_{1u} строились на основе аддитивных потенциалов для пар: атом Li в $2S$ - или $2P$ -состоянии и атом X в основном состоянии, рассчитанных в ⁽⁶⁾. Потенциальная кривая для взаимодействия Li($2S$) и X (основное состояние $A\Sigma$ молекулы LiX) аппроксимировалась потенциалом Леннард — Джонса (8) — (6) при малых r и (12) — (6) при больших r :

$$E_{8-6} = \varepsilon [3(r_m/r)^8 - 4(r_m/r)^6];$$

$$E_{12-6} = \varepsilon' [(r'_m/r)^{12} - 2(r'_m/r)^6]. \quad (1)$$

Из состояния Li ($2P$) и основного состояния атома X образуются два молекулярных состояния: $X\Sigma$ — отталкивательное и ВП — притягательное. Состояние $X\Sigma$ аппроксимировалось экспоненциальной функцией

$$E_x = Ce^{-b\tau}. \quad (2)$$

Состояние ВП аппроксимировалось потенциалом Морзе

$$E_{\Pi} = D_e [1 - e^{-k(\tau - \tau_e)}]^2 - D_e. \quad (3)$$

Энергия молекулы LiX рассчитывалась в ⁽⁶⁾ в первом порядке теории возмущения. Поэтому для построения энергетических поверхностей молекулы LiX₁₂ можно использовать вычисленные в ⁽⁶⁾ матричные элементы возмущения, если предположить аддитивность возмущения атома Li 12 атомами X. Смещение атома Li в молекуле LiX₁₂ задается радиусом-вектором ρ , направленным из центра симметрии молекулы к ядру Li. Начало координат совмещалось с ядром Li и смещалось вместе с ним. R_i — радиусы-векторы неподвижных атомов X в этой подвижной системе.

Для состояния A_{1g} энергия для каждого значения ρ определялась как сумма парных потенциалов, заданных выражением (1). При малых ρ угловая часть потенциала усреднялась по методу Херста и Левельта ⁽⁷⁾, и движение атома Li описывалось в приближении сферического осциллятора. При больших ρ производилось непосредственное суммирование парных потенциалов. Для возбужденного состояния при каждом смещении атома Li, которое задается либо ρ , либо набором векторов R_i , три поправки к энергии уровня $2P$ определялись из векового уравнения

$$|V_{mn} - \delta_{mn}E| = 0, \quad m, n = -1, 0, +1,$$

где $V_{mn}(\rho) = \sum_{i=1}^{12} V_{mn}(R_i) = \sum_{i=1}^{12} \langle f(r) Y_1^m(\theta, \varphi) | V(r, \theta, \varphi, R) | f(r) Y_1^n(\theta, \varphi) \rangle;$

r, θ, φ — координаты валентного электрона Li; $f(r)$ — радиальная и Y_1^{-1} , Y_1^0 , Y_1^{+1} — угловые части собственных функций атома Li в $2P$ -состоянии.

При данном ρ для вычисления каждого матричного элемента $V_{mn}(R_i)$ производился поворот системы координат таким образом, чтобы ось z новой системы совпадала с R_i , направлением на i -й атом. Собственные функции

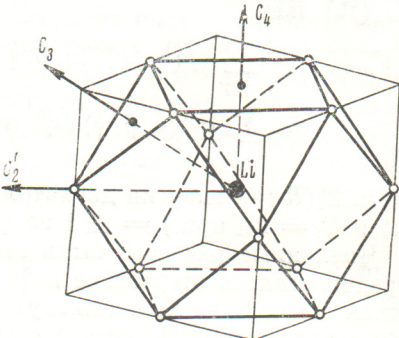


Рис. 1. Модель центра LiXe₁₂

при этом преобразуются следующим образом (см. (8)):

$$Y_1^n(\theta, \varphi) = \sum_m D_1^{mn}(\alpha, \beta, \gamma) Y_1^m(\bar{\theta}, \bar{\varphi}), \quad m = -1, 0, +1, \quad (4)$$

где $\bar{\theta}, \bar{\varphi}$ — углы в новой координатной системе; α, β, γ — углы Эйлера, характеризующие поворот системы. Подстановка (4) в выражение для $V_{mn}(R_i)$ дает

$$\begin{aligned} V_{mn}(R_i) &= \sum_{j, j'} \langle f(r) D_1^{jm}(\alpha, \beta, \gamma) Y_1^j | V(r, \bar{\theta}, \bar{R}_i) | f(r) D_1^{j'm}(\alpha, \beta, \gamma) Y_1^{j'} \rangle = \\ &= \sum_j D_1^{jm}(\alpha, \beta, \gamma) D_1^{j'm}(\alpha, \beta, \gamma)^* E_j(R_i) \quad j, j' = -1, 0, +1. \end{aligned}$$

Здесь $E_j(R_i)$ — энергия двухатомной молекулы LiX : $E_j = E_\Sigma$ при $j = 0$ из (2) и $E_j = E_p$ при $j = \pm 1$ из (3).

Численные расчеты были выполнены для A -центра системы Li/Xe . Предполагалось отсутствие деформации решетки вокруг атома примеси и длина связи $\text{Li} - \text{Xe}$ в молекуле LiXe_{12} принималась равной радиусу первой координационной сферы в кристаллическом Xe : $r_{\text{Li}-\text{Xe}} = 4,4 \text{ \AA}$. Значения параметров в парных потенциалах * (1) — (3): $\varepsilon = 116 \text{ cm}^{-1}$; $r_m = 4,1 \text{ \AA}$; $\varepsilon' = 116 \text{ cm}^{-1}$; $r_m' = 4,6 \text{ \AA}$; $C = 7,2 \cdot 10^6 \text{ cm}^{-1}$; $b = 2,37 \text{ \AA}^{-1}$; $D_e = 3310 \text{ cm}^{-1}$; $k = 1,72 \text{ \AA}^{-1}$; $r_e = 2,6 \text{ \AA}$.

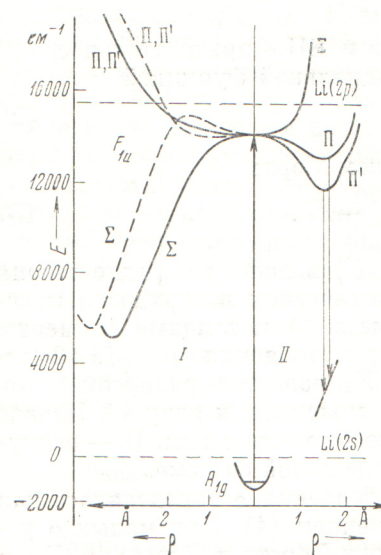


Рис. 2. Энергетические поверхности LiXe_{12} в состояниях A_{1g} и F_{1u} : I — смещение по оси C_3 (пунктирная линия) и по оси C_4 (сплошная линия), II — смещение по оси C_2'

нимумов происходит пересечение поверхности A_{1g} на три ветви энергетической поверхности возбужденного состояния (см. рис. 2). Переход при поглощении на поверхность Σ приводит к безызлучательным переходам, так как на этой поверхности расположены глубокие минимумы на большом расстоянии от центра симметрии: 8 минимумов на осях C_3 при $\rho = 3,6 \text{ \AA}$ глубиной 8500 cm^{-1} и 6 минимумов на осях C_4 при $\rho = 3,1 \text{ \AA}$ глубиной 8900 cm^{-1} . В области этих минимумов происходит пересечение поверхности Σ с поверхностью A_{1g} . Переход молекулы при поглощении на поверхности Π и Π' приводит к люминесценции из двух соответствующих минимумов, расположенных на осях C_2' при $\rho = 1,6 \text{ \AA}$. Таких пар минимумов 12, их глубина 1050 и 2500 cm^{-1} . Из-за сильного электронно-колебательного взаимодействия вблизи $\rho = 0$ существует большая вероятность перехода с поверхностей Π и Π' на поверхность Σ с последующей дезактивацией в глубоких минимумах. Этим

* В (6), к сожалению, не даны точные значения рассчитанных потенциалов, а только приведены некоторые кривые. Проверкой установлено, что возможная ошибка в принятых значениях параметров незначительно изменяет оценки, сделанные в настоящей работе.

объясняется низкий квантовый выход люминесценции. Выше помещены рассчитанные значения переходов в поглощении и излучении, показанных на рис. 2 стрелками. Контуры полос не рассчитывались.

Предложенная модель *A*-центра позволяет объяснить полученную экспериментально большую величину сдвига полосы люминесценции. Согласие экспериментальных и расчетных величин представляется вполне удовлетворительным, если учесть, что: а) в модели не рассматривалась релаксация атомов Xe, расположенных вблизи от излучающего атома Li, б) результаты расчета⁽⁶⁾ некорректны при малых расстояниях Li—Xe. Для расчета спектра поглощения данная модель, учитывая только колебание F_{1u} , является хорошим приближением. Вероятно, все остальные колебания дадут вклад только в ширину компонент триплета. Рассчитанное значение энергии перехода при $\rho = 0$ хорошо согласуется с экспериментальным значением, соответствующим центральной компоненте триплета.

Государственный институт прикладной химии
Ленинград

Поступило
25 XII 1970

ЦИТИРОВАННАЯ ЛИТЕРАТУРА

- ¹ А. А. Беляева, Ю. Б. Предтеченский, Л. Д. Щерба, Изв. АН СССР, сер. физ., 33, 5, 895 (1969). ² L. Andrews, G. Rimentel, J. Chem. Phys., 47, 2905 (1967). ³ А. А. Беляева, Ю. Б. Предтеченский, Л. Д. Щерба, Оптика и спектроскопия, 24, 449 (1968). ⁴ К. К. Ребане, Элементарная теория колебательной структуры спектров примесных центров кристаллов, «Наука», 1968. ⁵ A. D. Liehr, J. Phys. Chem., 67, 389 (1963). ⁶ W. E. Baylis, J. Chem. Phys., 51, 2665 (1969). ⁷ R. P. Hurst, G. M. H. Levelt, J. Chem. Phys., 34, 54 (1961). ⁸ Дж. Хиршфельдер, Ч. Кертисс, Р. Берд, Молекулярная теория газов и жидкостей, ИЛ, 1961.